

Проанализировав график (рис. 2), можно сделать вывод, что при увеличении расстояния OA относительные скорости скольжения возрастают. Причем оптимальное соотношение составляющих скоростей скольжения достигается при углах положения кривошипа, $\alpha\varphi$ в диапазоне 0° – 30° . Следовательно, необходимо добиваться того, чтобы взаимодействие контактирующих поверхностей неподвижного и прецессионного дисков происходило при угловом положении кривошипа $\alpha\varphi = 0^\circ$ – 30° или близком к нему, а при других положениях кривошипа необходимо исключить данное взаимодействие. Это можно достичь, если зубчатый венец неподвижного диска расположить на определенном расстоянии от точки прецессии O и его ширину сделать минимальной, необходимой для обеспечения контактной прочности.

Проведенный анализ позволил использовать значения относительных скоростей скольжения для определения срока службы коническо-цилиндрических планетарных редукторов, изготовленных на РУП Могилевский завод “Электродвигатель”

ЛИТЕРАТУРА

1. Пат. 2029170 Россия, МКИ⁶ F16 H1/32. Планетарная прецессионная передача / П. Н. Громыко - № 5004739/28; Заявлено 01.07.91; Оpubл. 20.02.95., Бюл. № 5. – 4 с. Планетарные прецессионные передачи (КЦПП). Кинематический, силовой и технологический аспекты их создания / П. Н. Громыко, А. А. Жолобов, А. А. Стаценко и др.; Под общ. ред. А. Т. Скойбеды. – Мн.: БГПА, 2000. – 252 с.

УДК 519.10: 539.3

О.В. Громыко

ИСХОДНЫЕ СООТНОШЕНИЯ ДЛЯ РАСЧЕТА ПРОЧНОСТИ И ЖЕСТКОСТИ МЯГКОЙ ЦИЛИНДРИЧЕСКОЙ ОБОЛОЧКИ

*Белорусская государственная политехническая академия
Минск, Беларусь*

В начальном недеформированном состоянии оболочка представляет цилиндр с жесткими дисками в торцах. Материал оболочки изотропен и допускает большие деформации. Связь между погонными усилиями и деформациями линейна, при этом коэффициенты, характеризующие эту связь (Eh) и μ считаются постоянными. Введем систему координат x, r , связанную с одним из торцов. Оболочка нагружена внутренним давлением p .

Введем следующие обозначения: R – радиус жесткого днища; L_n – начальная длина оболочки; L_k – конечная длина оболочки; R_r – радиус кривизны меридиана оболочки; R_θ – окружной радиус кривизны оболочки; θ – угол между нормалью и про-

дольной осью оболочки; T_1, T_2 – соответственно меридиональное и окружное погонные усилия; θ – угол поворота нормали; w – перемещение в направлении; p – давление внутри оболочки; ϵ_1, ϵ_2 – главные удлинения.

Геометрические соотношения получаем из рассмотрения рис. 1 и 2 [1–3]:

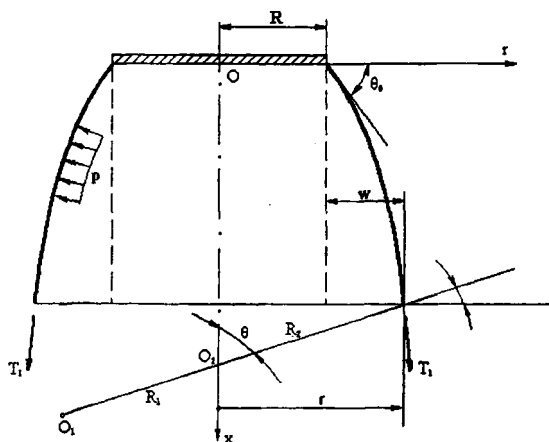


Рис. 1. Условные обозначения в расчетной схеме.

$$\frac{1}{R_2} = \frac{\sin \theta}{r}; \quad \frac{1}{R_1} = \frac{d\theta}{dr} \cos \theta; \quad \frac{dr}{dx} = \operatorname{ctg} \theta; \quad \epsilon_2 = \frac{w}{R}; \quad \epsilon_1 = \frac{r}{R} - 1 \quad (1)$$

Уравнения равновесия для осесимметричной нагруженной безмоментной оболочки имеют следующий вид [3]:

$$T_1 = \frac{pr}{2 \sin \theta} \quad (2); \quad \frac{T_1}{R_1} + \frac{T_2}{R_2} = p \quad (3)$$

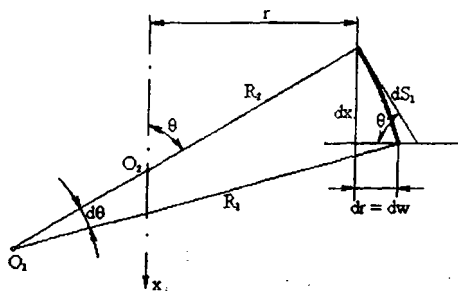


Рис. 2. Элемент мягкой оболочки

Связь погонных усилий с деформациями имеет вид закона Гука

$$T_1 = (Eh)(\varepsilon_1 + \mu\varepsilon_2) \frac{1}{1-\mu^2}; \quad T_2 = (Eh)(\varepsilon_2 + \mu\varepsilon_1) \frac{1}{1-\mu^2}$$

Отсюда можно записать, что $T_2 = Eh \cdot \varepsilon_2 + \mu T_1$ (4)

Подставим выражения для кривизны в уравнение (3): $T_1 \frac{d\theta}{dx} \cdot \sin\theta + T_2 \cdot \frac{\sin\theta}{r} = p$

Отсюда следует, что

$$\frac{dx}{d\theta} = \frac{T_1 \cdot \sin\theta}{p - T_2 \cdot \frac{\sin\theta}{r}} \quad (5)$$

Полная система уравнений, необходимых для отыскания деформированной формы оболочки, имеет вид (заметим, что $dr = dw$ и $\varepsilon_2 = \frac{w}{r}$):

$$\left. \begin{aligned} \frac{dx}{d\theta} &= \frac{T_1 \cdot \sin\theta}{p - T_2 \cdot \frac{\sin\theta}{r}}; \\ \frac{dr}{dx} &= \operatorname{ctg}\theta; \\ \frac{r}{R} &= 1 + \varepsilon_2; \\ T_2 &= Eh \cdot \varepsilon_2 + \mu T_1 \end{aligned} \right\} \quad (6)$$

Запишем исходную систему (6) в безразмерном виде, вводя следующие обозначения: $\Phi_1 = \frac{T_1}{pR}$; $\Phi_2 = \frac{T_2}{pR}$; $\rho = \frac{r}{R}$; $\xi = \frac{x}{R}$; $B = \frac{Eh}{pR}$. Тогда полная система уравнений (6) запишется в виде (заметим, что $d\rho = d\eta$ и $\varepsilon_2 = \eta$)

$$\left. \begin{aligned} \frac{d\xi}{d\theta} &= \frac{\Phi_1 \cdot \sin\theta}{1 - \Phi_2 \cdot \frac{\sin\theta}{\rho}}; \\ \frac{d\rho}{d\xi} &= \operatorname{ctg}\theta; \\ \rho &= 1 + \varepsilon_2; \\ \Phi_1 &= \frac{\rho}{2 \sin\theta}; \\ \Phi_2 &= B\varepsilon_2 + \mu\Phi_1 \end{aligned} \right\} \quad (7)$$

Интегрирование системы уравнений (7) проводилось по параметру θ ($\theta_0 \leq \theta \leq \frac{\pi}{2}$)

Условия на границе: 1) $\theta = \theta_0$, $\rho = 1$, $\xi = 0$ 2) $\theta = \frac{\pi}{2}$; $\xi = \xi_k$

Численное интегрирование системы уравнений (7) проводилось на ПК в пакете Mathcad.

Алгоритм решения

Задаемся начальным углом $\theta = \theta_0$ и шагом интегрирования $\Delta\theta$. При этом началу расчетов соответствует система

$$\left. \begin{aligned} \xi &= 0; \\ \rho_0 &= 1; \\ \Phi_{10} &= \frac{1}{2 \sin \theta_0}; \\ \varepsilon_{20} &= 0; \\ \Phi_{20} &= \mu \Phi_{10}. \end{aligned} \right\}$$

Запишем систему уравнений (7) в конечных разностях:

$$\Delta \xi_i = \frac{\Phi_{1i-1} \cdot \sin \theta_{i-1}}{1 - \Phi_{2i-1} \cdot \frac{\sin \theta_{i-1}}{\rho_{i-1}}} \cdot \Delta \theta;$$

$$\Delta \rho_i = \frac{\cos \theta_{i-1}}{\sin \theta_{i-1}} \cdot \Delta \xi_i;$$

$$\varepsilon_{2i} = \varepsilon_{2i-1} + \Delta \rho_i;$$

$$\xi_i = \xi_{i-1} + \Delta \xi_i;$$

$$\theta_i = \theta_{i-1} + \Delta \theta;$$

$$\rho_i = 1 + \varepsilon_{2i};$$

$$\Phi_{1i} = \frac{\rho_i}{2 \sin \theta_i};$$

$$\Phi_{2i} = \mu \left(\frac{B \varepsilon_{2i}}{\mu} + \Phi_{1i} \right)$$

Проведем линеаризацию геометрических соотношений (1). Пусть угол поворота нормали – малая величина и равен $\vartheta = \frac{\pi}{2} - \theta$. Тогда можно считать, что $\cos \vartheta \approx 1$; $\sin \vartheta \approx \vartheta$ при этом $\sin \theta = \cos \vartheta \approx 1$; $\cos \theta = -\sin \vartheta \approx -\vartheta$. Из рис. 2 очевидно соотношения $\frac{dw}{d\theta} = \vartheta$. Тогда выражения для кривизн будут иметь вид:

$$\frac{1}{R_1} = -\frac{d^2 w}{d\theta^2}; \quad \frac{1}{R_2} = \frac{1}{R \left(1 + \frac{w}{R} \right)} \quad (8)$$

Представим погонные усилия деформированного состояния оболочки в виде двух составляющих: $T_1 = T_{10} + t_1$; $T_2 = T_{20} + t_2$. Здесь усилия T_{10} , T_{20} соответствуют основному напряженному состоянию оболочки. Они определяются для начальной недеформированной формы из статических уравнений безмоментной линейной теории [3]:

$$T_{10} = \frac{pR}{2}; \quad T_{20} = pR.$$

t_1, t_2 – возмущенные значения усилий.

$$\text{Из уравнения (2) найдем возмущенное значение } t_1: T_1 = \frac{pr}{2 \sin \theta} \rightarrow T_1 = \frac{pR}{2} + \frac{pw}{2} \quad (9)$$

$$\text{следовательно, } t_1 = \frac{pw}{2}.$$

Подстановка полученных значений (8), (9) в уравнения (3) и (4) дает следующую систему уравнений

$$\left. \begin{aligned} & - \left(\frac{pR}{2} + \frac{pw}{2} \right) \cdot \frac{d^2 w}{d\theta^2} + T_2 \cdot \frac{1}{R \left(1 + \frac{w}{R} \right)} = p \\ & T_2 = Eh \cdot \frac{w}{R} + \mu \left(\frac{pR}{2} + \frac{pw}{2} \right) \end{aligned} \right\} \quad (10)$$

Решая совместно эти два уравнения и опустив члены более высокого порядка малости, получим следующее дифференциальное уравнение

$$\frac{d^2 w}{dx^2} - \frac{2}{R^2} \left[\frac{Eh}{pR} + \frac{\mu}{2} - 1 \right] \cdot w = -\frac{2}{R} \left(1 - \frac{\mu}{2} \right) \quad (11)$$

В случае, когда параметр нагрузки $\frac{Eh}{pR} \gg (1 - \frac{\mu}{2})$ имеем

$$\frac{d^2 w}{dx^2} - \frac{2Eh}{pR^3} w = -\frac{2}{R} \left(1 - \frac{\mu}{2} \right) \quad (12)$$

Решения этих уравнений имеют вид $w = w_r + c_1 e^{\alpha x} + c_2 e^{-\alpha x}$.

Граничные условия на торцах: 1) $x = 0, w = 0$ 2) $x = L_r, w = 0$.

Получим решение для оболочки конечной длины

$$w = w_r \left[1 - \frac{\operatorname{ch} \alpha \left(x - \frac{L_r}{2} \right)}{\operatorname{ch} \alpha \frac{L_r}{2}} \right] \quad (13)$$

Здесь для уравнения (11)

$$w_r = \frac{\left(1 - \frac{\mu}{2}\right) \cdot R}{\frac{Eh}{pR} - \left(1 - \frac{\mu}{2}\right)}; \quad \alpha^2 = \frac{2}{R^2} \left[\frac{Eh}{pR} - \left(1 - \frac{\mu}{2}\right) \right] \quad (14)$$

В случае уравнения (12) решение соответствует решению линейной безмоментной теории

$$w_r = \frac{pR^2}{Eh} \left(1 - \frac{\mu}{2}\right); \quad \alpha^2 = 2 \frac{Eh}{pR^3} \quad (15)$$

В случае, когда длина краевой зоны меньше $\frac{L}{2}$ для участка вне краевой зоны и $\frac{d^2w}{dx^2} = 0$ решением уравнений (11) и (12) будут частные решения (14) и (15). Отметим,

что решение (14) является точным решением.

ЛИТЕРАТУРА

1. Усюкин В. И. Строительная механика конструкций космической техники: Учебник для студентов вузов. – М.: Машиностроение, 1988. – 392 с.
2. Усюкин В. И. Техническая теория мягких оболочек и ее применение для расчета пневматических конструкций // Пневматические строительные конструкции. – М.: Стройиздат, 1983. – С. 299–333.
3. Бидерман В.Л. Механика тонкостенных конструкций. Статика. – М.: Машиностроение, 1977.
4. Громыко О.В., Громыко А.О. Ландау М.Э. Конечно-разностная прогонка в анализе напряженно-деформированного состояния надувных оболочек вращения // Материалы II Белорусского конгресса по теоретической и прикладной механике. – Мн.: – 1999, С. 68–69.

УДК 539.3

О.В. Громыко

НАПРЯЖЕННО-ДЕФОРМИРОВАННОЕ СОСТОЯНИЕ МЯГКОЙ ЦИЛИНДРИЧЕСКОЙ ОБОЛОЧКИ

*Белорусская государственная политехническая академия
Минск, Беларусь*

Численное интегрирование системы уравнений (7) из работы [5] проводилось на ПЭВМ с использованием пакета математических расчетов Mathcad 2000 при $\mu := 0.5$